

## 集中荷重を受ける矩形柱周辺に発生した剥離

名古屋工業大学（院） ○吉川 和夫  
名古屋工業大学 長谷部宣男

中部電力（株） 上田 稔  
名古屋工業大学 中村卓次

1) まえがき 弾性体に埋め込まれた剛体に、集中荷重が作用している場合の解析を行う。解析には、弾性体（fig.1のz-planeの斜線部）を、 $\zeta$ -planeの単位円外に等角写像する関数と複素応力関数を用いる。混合境界値問題として、剛体が、弾性体から剥離したときの応力解析、剥離先端の特異性を矩形の形状を変化させて考察する。

2) 解法 fig.1 に示す物理領域（z-plane）を単位円外（ $\zeta$ -plane）に等角写像する有理型写像関数は、次式のように表される[1]。

$$z = \omega(\zeta) = E_0 \zeta + \sum_{k=1}^n \frac{E_k}{\zeta_k - \zeta} + E_{-1}$$

ここで、 $\zeta_k, E_k, E_{-1}$ は、形状によって決まる定数である。また、fig.1に示した $Z_a, Z_b$ は、剥離先端を表し、単位円上の $\alpha, \beta$ にそれぞれ対応している。境界線上において、弾性体が、剛体と接合している部分を剛境界（M）、その他の部分を自由境界（L）と呼ぶことにする。ここでは、剛境界上の点が、自由境界になった状態を剥離したと考えている。M上、L上の境界条件式は、複素応力関数を用いて、次式のように表される。

$$\kappa \phi(\zeta) - \frac{\omega(\zeta)}{\omega'(\zeta)} \overline{\phi'(\zeta)} - \overline{\psi(\zeta)} = 2G(u+iv) \quad \text{on } M$$

$$\phi(\zeta) + \frac{\omega(\zeta)}{\omega'(\zeta)} \overline{\phi'(\zeta)} + \overline{\psi(\zeta)} = i \int (p_x + ip_y) ds \quad \text{on } L$$

ここで、 $u, v$ は、 $x, y$ 方向の変位、 $p_x, p_y$ は、 $x, y$ 方向の外力である。 $\zeta$ は、単位円上の点である。 $\kappa$ は、ポアソン比の関数である。

次に、剥離発生後の応力解析を行うために、プレメリ関数 $\chi(\zeta) = (\zeta - \alpha)^m (\zeta - \beta)^{1-m}$ ,  $m = 0.5 - i\gamma$ ,  $\gamma = \ln \kappa / (2\pi)$ を導入する。この関数は、次式に示す関数を満足する。

$$\chi^+(\zeta) = \chi^-(\zeta) \quad \text{on } M, \quad \chi^+(\zeta) = -\kappa \chi^-(\zeta) \quad \text{on } L$$

ここで、右上の肩符は、 $\zeta$ が単位円に外から近づいた $\chi(\zeta)$ の値を+で、内から近づいたそれを-をつけて表している。境界条件として、剛境界上で $p_x = p_y = 0$ 、集中荷重 $P$ が作用している条件より、複素応力関数は、次のように表される。

$$\phi'(\zeta) = \frac{A \chi(\zeta)}{(\zeta - \alpha)(\zeta - \beta)} \left( 1 + \frac{\alpha \beta}{\zeta \chi(0)} \right)$$

$$+ \frac{\chi'(\zeta)}{\kappa} \sum_{k=1}^n \frac{(\overline{A}_k + \overline{A} \zeta_k) B_k}{\chi(\zeta_k)(\zeta_k - \zeta)} + \frac{\chi(\zeta)}{\kappa} \sum_{k=1}^n \frac{(\overline{A}_k + \overline{A} \zeta_k) B_k}{\chi(\zeta_k)(\zeta_k - \zeta)^2}$$

ここで、 $A_k = \phi'(\zeta_k')$ ,  $\zeta_k' = \frac{1}{\zeta_k}$ ,  $B_k = \frac{E_k}{\omega'(\zeta_k')}$ ,  $A = \frac{P}{2\pi(1+\kappa)}$ である。

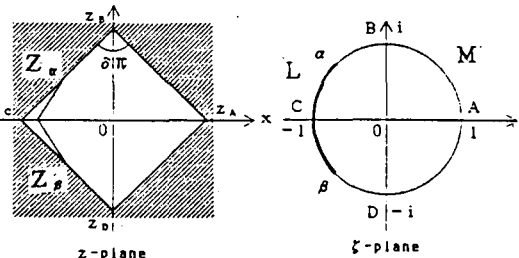
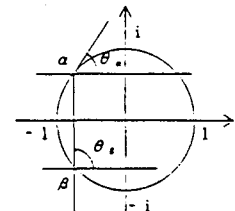


fig.1 物理面と単位円

fig.2  $\zeta$ -plane

また、剥離先端の特異性は、fig.2 に示すような単位円での角度を用い、さらに無次元化した形で次式のように表される[2]。

$$F_a = \frac{|\alpha_0|}{P} \sqrt{a}$$

$$\alpha_0 = \frac{|\omega'(\alpha)(\alpha - \beta)|^{0.5 + i\tau}}{\omega'(\alpha)(\alpha - \beta)} \cdot g(\alpha) e^{i(1-m)(\theta_B - \theta_\alpha)}$$

$g(\alpha)$ は、 $g(\alpha) = \phi'(\zeta)(\zeta - \alpha)^{1-m}$   
 $(\zeta - \beta)^m$  に  $\zeta = \alpha$  を代入したものである。

### 3) 解析結果 ここでは、x 軸方向の集中荷重が作用した場合の解析をした。隅角部の角度 $\delta \pi = 90^\circ$ , $\kappa = 2$ として、剥離先端の位置を変化させた時の応力分布図を fig.

3,4 に示す。 $\sigma_z$  は、法線方向応力、 $\sigma_{rz}$  は、接線方向せん断力である。分布形は、  
x 軸に対して対称形となるために下半分は省略した。また、 $\sigma_\theta, \sigma_r$  には、 $\sigma_\theta / \sigma_r = (3-\kappa)/(1+\kappa)$  の関係があるために接線方向応力  $\sigma_r$  についても省略する。 $c/a=0$  の時の状態は、剥離発生前の分布に相当する。

$c/a=0.5$  の時、剥離先端での応力は、 $\sigma_z, \sigma_{rz}$  ともに無限大に近づいていく。 $c=1.0$  つまり剥離が隅角部まで進んだ状態では、隅角部の応力が無限大に近づく。次に、剥離先端での特異性を  $\delta \pi = 45^\circ, 90^\circ, 135^\circ$  と変化させて fig.5 に示した。 $F_a$  は、いずれの場合においても、 $c/a$  が 1.0 に近づくにつれて大きくなる。一旦剥離が発生すると  $c/a=1.0$  まで剥離が進行することが判る。また、 $c/a$  が、0 から 0.5 の範囲では、 $\delta \pi = 90^\circ$  の  $F_a$  が、この中では大きな値を示している。 $c/a$  が、0.5 から 1.0 に近づくにつれて、 $\delta \pi = 45^\circ$  の  $F_a$  が大きな値を示す。

#### «参考文献»

- [1] J.Iida,N.Hasebe,S.Matuuura,1987,  
ASCE Journal of Engineering Mechanics,  
Vol.113,No.8,pp.1194-1196
- [2] N.Hasebe,S.Tsutsui,T.Nakamura,1987,  
ASME Journal of Applied mechanics,  
Vol.55,pp.574-579

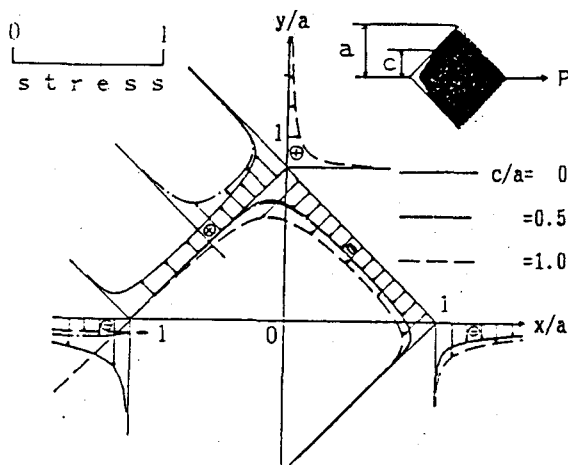


fig.3  $\sigma_z, \sigma_r$  の応力分布:  $c/a=0, 0.5, 1.0$

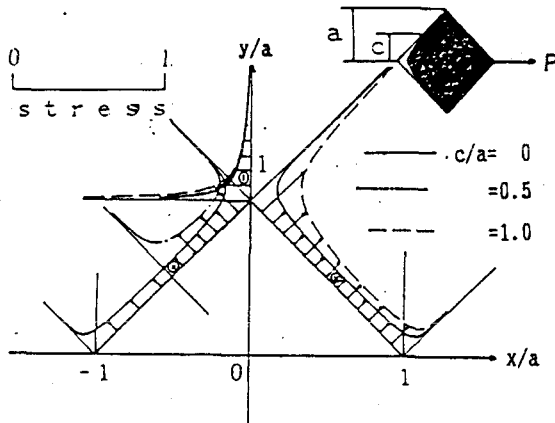


fig.4  $\sigma_{rz}, \sigma_{xy}$  の応力分布:  $c/a=0, 0.5, 1.0$

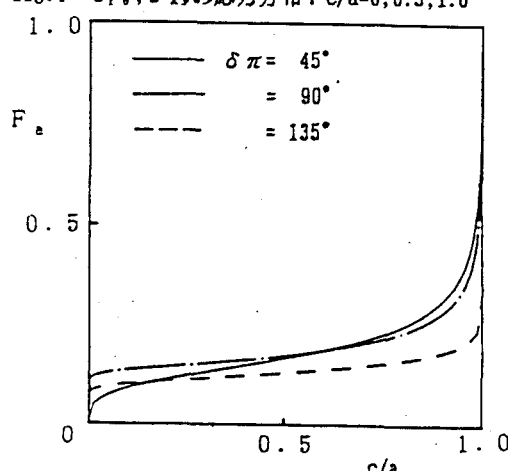


fig.5 無次元化した剥離先端の特異性